

Звуковая модель и принцип Маха

Леонид Иосифович Филиппов¹, Вячеслав Витальевич Клименко^{2,*}

¹ Лицей «Физико-техническая школа» Академический университет РАН
194021, Санкт-Петербург, ул. Хлопина, д. 6, корп. 3, литера «А»

² Академический университет РАН
194021, Санкт-Петербург, ул. Хлопина, д. 6, корп. 3, литера «А»;
*e-mail: slava.klimenko@gmail.com

В работе анализируется методика, где базовые физические процедуры теории относительности – синхронизация часов и измерение длин – осуществляются с опорой на сигналы, скорость которых привязана к скорости выделенной системы отсчета («среды»). В качестве примера рассмотрена модель, в которой наблюдатели используют «звуковые волны» для передачи информации. Разобран парадокс кажущегося несоответствия результатов представленной модели и стандартных преобразований Лоренца. Обсуждается принцип Маха и его применимость в рамках представленной модели.

Ключевые слова: теория относительности, приборный принцип, принцип Маха.

1. Введение

В работах [1, 2] была предложена логическая схема, которая показывает, что преобразования Лоренца для координат и времени являются естественным следствием предположения об изотропии и постоянстве скорости «светового сигнала» для некоторой «исходной» системы отсчета. При этом нет необходимости постулировать постоянство скорости света во всех инерциальных системах отсчета. Этот результат является следствием приборного эффекта измерений, где в качестве измерительного прибора используется световой сигнал. Механизм был показан в работе [2, 3]. Таким образом, предложенная система является самозамкнутой относительно кинематики, а именно, преобразования Лоренца воспроизводятся в мысленном эксперименте для других наблюдателей, что является проявлением принципа относительности. Этот подход может быть расширен на описание электромагнитных взаимодействий. В работе [4, 5] показано, что классическое магнитное взаимодействие движущихся зарядов является релятивистским эффектом их электростатического взаимодействия.

В данной работе рассматривается два вопроса, (i) о влиянии выбора «прибора», а именно, способа передачи информации о событиях, на получаемые преобразования координат и времени. Является ли использование светового сигнала необходимым для получения преобразований Лоренца, что получит наблюдатель, который будет использовать другой способ передачи информации - например, звуковые волны. Показан возникающий мнимый парадокс между теорией и результатами экспериментов, и

обсуждаются возможные пути его решения. (ii) В рамках предложенной схемы описания электромагнитного взаимодействия рассмотрен принцип Маха, возникновение инертной массы тела в неинерциальной системе отсчета как следствие релятивистского эффекта гравитационного взаимодействия тела с гравитационным полем, создаваемым всеми другими телами во Вселенной.

2. Звуковая модель

Рассмотрим модель, в которой для измерения длин отрезков и передачи сигналов используются звуковые волны. В данном случае звуковой сигнал является некоторым модельным источником информации, заменяющим электромагнитные волны («свет»), и вместо него может быть рассмотрен любой другой способ передачи информации. Предположим также, что наблюдатель не имеет информации о световых сигналах, и покажем картину событий, описанную таким наблюдателем.

Систему отсчета, связанную с неподвижным наблюдателем, назовем «воздушной выделенной» (ВВ), если среда, в которой распространяются звуковые волны («воздух»), покоится. В этой системе отсчета часы, синхронизированные с помощью «звукового сигнала», будут синхронизированы также и «по свету». Если в середину отрезка, расположенного в ВВ, световые сигналы от событий на его концах приходят одновременно, то звуковые – тоже одновременно (просто звуковые – позже). Согласно предложенной в работах [1, 2] схеме, чтобы измерить длину движущегося отрезка, наблюдатель фиксирует начало и конец отрезка так, чтобы звуковые сигналы (и световые сигналы) от событий фиксации пришли в середину отрезка одновременно. Наблюдатели в ВВ системе отсчета и равномерно движущихся системах отсчета принимают постулат о постоянстве и изотропии скорости сигнала, а именно скорости звука, которую здесь и далее будем обозначать c . Исходя из этого принципа, они делают следующие теоретические рассуждения.

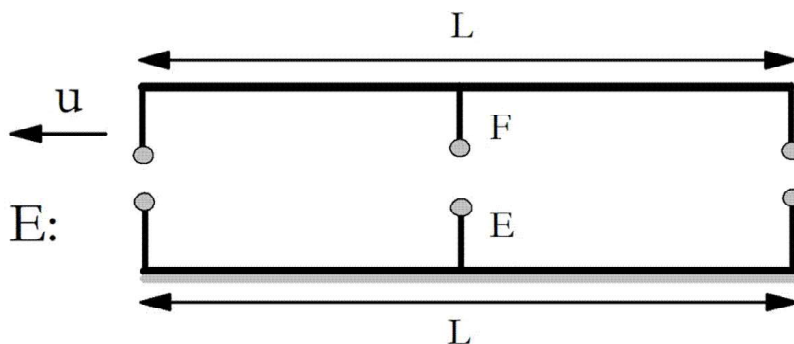


Рисунок 1. Измерение длины движущегося отрезка в системе отсчета E .

Мимо наблюдателя E в ВВ системе отсчета, находящегося в центре неподвижного отрезка длиной L , со скоростью u пролетает отрезок, концы которого соприкасаются с концами отрезка в системе E одновременно, и звуковые сигналы от соприкосновений приходят в центр отрезка в один и тот же момент. В рамках принятой аксиоматики с точки зрения наблюдателя E длина движущегося отрезка равна L , отрезки равны. На рис. 1 показана картина измерения длины движущегося отрезка с точки зрения наблюдателя E : точка F движется влево навстречу звуковому сигналу от соприкосновения левых концов отрезков и удаляясь от сигнала, приходящего справа. Сигналы, пришедшие к точке E одновременно, к точке F придут с рассогласованием во времени (измеренному в E):

$$\Delta t_E = \left(\frac{L}{2(e-u)} - \frac{L}{2(e+u)} \right) = \frac{L}{u} \left(\frac{1}{\frac{e^2}{u^2} - 1} \right). \quad (1)$$

Предположим, что наблюдатель F в движущейся системе отсчета рассуждает в рамках таких же принятых аксиом. На рис. 2 показана картина событий, построенная наблюдателем в системе отсчета F . Из того факта, что сигнал слева приходит раньше, чем сигнал справа, наблюдатель F делает вывод, что длина движущегося отрезка (система E) меньше, чем длина отрезка в его системе (которая равна L).

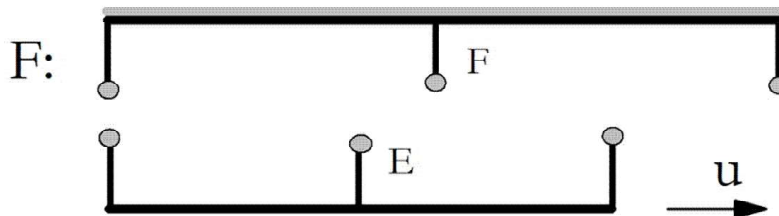


Рисунок 2. Измерение длины в системе отсчета F .

Продолжая строить логику на гипотезе о том, что все равномерно движущиеся системы отсчета равноправны, мы должны теперь найти такие преобразования для длин отрезков и промежутков времени $\beta(u, e)$, которые в рамках данной аксиоматики непротиворечиво описывали бы имеющуюся экспериментальную ситуацию: наблюдатель в одной из систем (E) видит, что «покоящийся» и «движущийся» отрезки равны $L_E = L_F = L$, а наблюдатель в другой системе (F) – что длины тех же отрезков различны. Отрезок, длина которого в покое равна L , будучи измеренным в движении (системой F), имеет меньшую продольную длину:

$$L_E = \frac{L}{\beta(u; e)}, \quad (2)$$

где u – скорость движения этого отрезка, e – скорость звука: ни от каких других параметров

функция преобразования длины зависеть не может. В нашу систему аксиом входит положение об изотропии пространства (также экспериментально подтвержденное), поэтому выбрана линейная зависимость.

Продолжая ту же логику, проследим за изменением промежутка времени. Рассмотрим два события, одноместные в системе отсчета F с промежутком времени Δt_F . Пусть наблюдатель F , оставит на отрезке, расположенном в системе E , отметки, расстояние между которыми с точки зрения F равно $u\Delta t_F$. Так как эти отметки ограничивают отрезок, неподвижный в системе E , то его длина, измеренная наблюдателем E , равна $u\Delta t_F \beta(u, e)$. Скорость движения точки F , измеренная E , равна u , следовательно, по часам E между этими же событиями прошло большее время:

$$\Delta t_E = \Delta t_F \beta(u, e). \quad (3)$$

Далее, с точки зрения наблюдателя F отрезок в системе E короче, чем отрезок в его системе на $u\Delta t_F$. Тогда длина отрезка в системе F равна:

$$\frac{L}{\beta(u, e)} + u\Delta t_F = \frac{L}{\beta(u, e)} + u \left(\frac{L}{u} \frac{1}{e^2 - 1} \right) \frac{1}{\beta(u, e)}. \quad (4)$$

В то же время длина отрезка в системе F с точки зрения системы E равна L , а отношение длин $\beta(u, e)$. Отсюда получаем условие на функцию преобразования $\beta(u, e)$:

$$\beta(u, e) = \frac{1}{\beta(u, e)} + \frac{1}{e^2 - 1} \frac{1}{\beta(u, e)}. \quad (5)$$

Откуда

$$\beta(u, e) = \frac{1}{\sqrt{1 - \frac{u^2}{e^2}}}. \quad (6)$$

Таким образом, оставаясь в рамках принятой аксиоматики, мы получаем в модельной «звуковой вселенной» преобразования Лоренца для продольной длины движущегося отрезка и для промежутка времени, разделяющего события, одноместные в движущейся системе отсчета. Наблюдатели, действующие в принятых условиях, проводя измерения скорости звука и относительной скорости равномерно движущихся систем с доступной им точностью, получают, как было показано, результаты, приводящие их к следующей гипотезе: (1) неразличимость равномерно движущихся систем отсчета, то есть принцип относительности, распространяющийся на любые опыты, включая опыты со звуком; (2) принцип постоянства скорости звука – при измерениях она получается одинаковой, независимо от движения источника или наблюдателя.

2.1. Парадокс

Используя данную логическую схему пара наблюдателей, использующие «звуковой» и «световой» сигнал, получают выражения, аналогичные преобразованиям Лоренца, как это было показано в статье [1]. Единственное отличие результатов будет заключаться в том, что в выражениях, полученных «звуковым наблюдателем», скорость света в привычных нам выражениях будет заменена на скорость звука.

Однако эксперименты показывают (опыт Физо, опыт Майкельсона-Морли, aberrация света, опыт Айвса и Стилуэлла, см. например, [6]), что сокращение длины движущегося отрезка описывается уравнениями, в которые входит скорость света, а не звука. Это создает мысленный парадокс: поскольку сама движущаяся система отсчета никакого участия в измерении длины не принимает, а ход ее часов и способ, которым они были синхронизированы, роли не играет, то получается, что некая волшебная сила как бы выделяет скорость света, хотя в данной ситуации звуковые сигналы «ничем не хуже». Более того, свет из данного процесса измерения можно исключить вовсе, однако сокращение длины будет «световым», а не «звуковым». Возникает ощущение объективной независимости процесса измерения от «прибора», с помощью которого это измерение проводится – световых сигналов. Можно сказать, что скорость света появляется в конечном результате как бы чудесным образом.

2.2. Решение

По-видимому, наблюдаемые явления и законы природы связаны с распространением и возмущением электромагнитного и гравитационного полей, скорость которых считается в современной науке равной скорости света. Именно свет «выбран» природой в качестве способа передачи информации, и именно скорость света входит в преобразования Лоренца и другие релятивистские эффекты. Тот факт, что «звуковой» наблюдатель, измеряет сокращение длины и промежутка времени согласно преобразованиям Лоренца со скоростью звука, является следствием его методики измерений и синхронизации часов.

Однако сравнение со звуковым наблюдателем позволило сделать вывод, что при высокой точности измерений можно обнаружить рассогласование результатов, полученных наблюдателями в разных инерциальных системах отсчета. Это создает потенциальный способ поиска ВВ системы, или по аналогии «световой» выделенной (СВ) системы. Для этого отвлечемся от показанных ранее построений и рассмотрим следующую схему. Пусть имеются две системы отсчета, равномерно движущиеся относительно ВВ со скоростями V_1 и V_2 , которые велики по сравнению со скоростью их движения друг относительно друга, т.е. $V_1, V_2 \gg |V_1 - V_2|$.

Измеряя скорости друг друга, наблюдатели в этих системах отсчета получают очень близкие результаты (см. [2]).

$$u_{21} = (V_2 - V_1) \frac{e^2 - V_1^2}{e^2 - V_1 V_2} \quad (7)$$

и

$$u_{12} = -(V_2 - V_1) \frac{e^2 - V_2^2}{e^2 - V_1 V_2} \quad (8)$$

Это же верно для результатов, которые получит каждый из этих наблюдателей, измеряя скорость звука.

$$e_{1,2} = e \left(1 - \frac{V_{1,2}^2}{e^2} \right) \quad (9)$$

Кроме того, так как часы в каждой из этих систем отсчета синхронизированы с помощью звуковых сигналов, скорость звука для каждого из наблюдателей внутри его системы будет одинакова во всех направлениях. Реально – при достаточно высокой точности измерений – есть асимметрия и при измерении относительной скорости движения рассмотренных систем отсчета, и при измерении скорости звука, сделанном в каждой из них. Наблюдатель в системе, движущейся относительно воздуха, измеряя скорость системы ВВ, получит меньший результат, чем наблюдатель в ВВ, измеряющий скорость первой системы. При измерении длины движущегося объекта из самой ВВ не будет «сокращения длины», как не будет и «замедления времени». По мере приближения скорости одной из систем к такой, при которой она совпадет с выделенной – то есть с ВВ – асимметрия растет.

Более того, при идеальной точности измерений в системах, равномерно движущихся относительно ВВ и использующих звук для синхронизации часов, можно, продвигаясь в сторону той из систем, скорость которой относительно ВВ меньше, выйти в конечном итоге на систему, которая покоится относительно воздуха – то есть на саму ВВ.

3. Принцип Маха

Зависимость свойств инерции данного физического тела от пространственного распределения и характеристик движения всех других материальных объектов во Вселенной как физико-философский принцип была сформулирована Эрнстом Махом в работе [7] и носит имя этого философа. Несомненно, принцип Маха повлиял на молодого Альберта Эйнштейна при создании его первых работ по теории относительности [8, 9], хотя впоследствии Эйнштейн достаточно резко критиковал как сам принцип, так и философию Маха. Тем не менее, более чем через полвека после создания специальной теории относительности (СТО) и сорок шесть лет после создания общей (ОТО), принцип Маха был активно использован Брансом и Дикке при анализе инертности тел и создании на основе этого анализа некоторого класса теорий, обобщающих ОТО, где гравитационная постоянная является гипотетическим меняющимся полем, зависящим от распределения масс и энергии-импульса во Вселенной [10, 11]. Ниже в рамках нашего рассмотрения мы изучим инертность тел в системе отсчета, вращающейся относительно «неподвижной как целое» Вселенной.

Покажем, что на основании конечности скорости распространения сигналов можно получить следующее: во вращающейся неинерциальной системе отсчета центробежная сила инерции является следствием гравитационного взаимодействия тела со всеми телами Вселенной. Этот результат соответствует принципу Маха [7], объясняющему эквивалентность инертной и гравитационной масс.

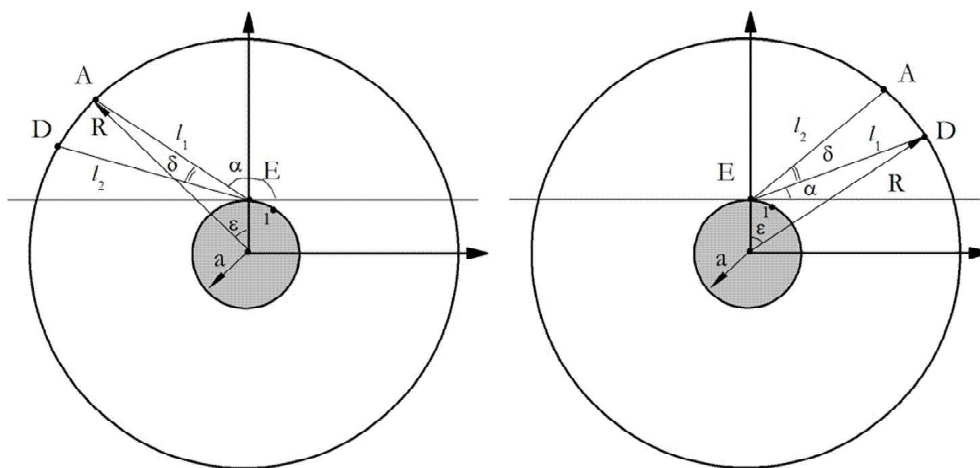


Рисунок 3. Схема расчета для верхней полусферы.

Пусть наблюдатель E находится в системе, вращающейся с постоянной угловой скоростью ω по окружности радиуса a относительно исходной неподвижной системы отсчета («неподвижной Вселенной»). Пусть в неподвижной системе отсчета есть однородное распределение гравитационной массы. Для описания этой системы используем сферическую систему координат с началом в центре окружности, по которой движется наблюдатель E . Схема движения представлена на рис. 3. Если бы наблюдатель E покоился (или двигался с постоянной скоростью), суммарная сила гравитационного притяжения «пробной массы» с веществом в верхней и нижней полусферах пространства была бы нулевой. Покажем, что при переходе во вращающуюся систему координат, наблюдатель E будет наблюдать изменение распределения массы в верхней и нижней полусферах неподвижной системы отсчета.

На правой панели рис. 3 показана схема расчета для верхней правой полусферы (относительно положения наблюдателя E). Рассчитаем в первом приближении взаимодействие точечной массы (наблюдателя E) с соосной окружностью большего радиуса R , лежащей в плоскости движения. Положение точек окружности с координатой $y > a$ можно описывать параметром α – углом между направлением от наблюдателя E на точку и направлением

скорости наблюдателя E . В рассматриваемой схеме наблюдатель находится в верхней точке окружности, и его скорость параллельна оси абсцисс. Угол меняется в диапазоне $0 < \alpha < \pi$ для верхней полуплоскости и $-\pi < \alpha < 0$ для нижней.

1) Сначала представим, какое изображение на «мгновенном снимке» окружности радиуса R увидит покоящийся наблюдатель, расположенный в точке E , точнее, опишем сам процесс наблюдения и прихода сигналов.

Рассмотрим произвольные точки D и A с соответствующими углами α и $\alpha + \delta$. Отследим сигналы, приходящие к наблюдателю E в один и тот же момент времени. Поскольку расстояния между точками $E - D$ и $E - A$ разные, то сигналы, принятые наблюдателем в точке E в один и тот же момент времени, вылетели из точек A и D в разное время. Световой сигнал из точки D вылетел позже, чем из точки A , на время Δt_0 :

$$\Delta t_0 = \frac{l_1}{c} - \frac{l_2}{c}. \quad (10)$$

Мы можем выразить расстояния l_1 и l_2 через R , a и углы α , δ и с точностью до первого порядка a/R записать как:

$$\frac{l_1}{R} = \sqrt{1 - \frac{a^2}{R^2} \cos^2 \alpha} - \frac{a}{R} \sin \alpha \approx 1 - \frac{a}{R} \sin \alpha \quad (11)$$

$$\frac{l_2}{R} \approx 1 - \frac{a}{R} \sin(\alpha + \delta) \quad (12)$$

2) Теперь представим, что наблюдатель E движется по окружности радиуса a вправо по часовой стрелке. Поскольку точка E приближается быстрее к точке A , чем к точке D (проекция скорости на направление к точке A больше, чем к точке D), сигналы от точек A и D будут одновременно приходить к наблюдателю E с меньшим рассогласованием по времени $\Delta t_1 < \Delta t_0$. Эффективно это воспринимается как «сокращение» длины дуги по сравнению с длиной, измеренной в покое: та же дуга будет видна на снимке под углом, который меньше, чем угол δ .

Рассчитаем разницу времени прихода сигналов к движущемуся наблюдателю E . Представим, что наблюдатель E сдвинулся на расстояние x вдоль окружности a – точка 1 на рис. 3. Теперь расстояние от него до точек A и D будет y_1 и y_2 . Тогда разность времен прихода сигнала от точек A и D в точку 1 будет равна

$$\Delta t_1 = \frac{y_1}{c} - \frac{y_2}{c} \quad (13)$$

и она меньше, чем Δt_0 на величину

$$\Delta t = \Delta t_1 - \Delta t_0 = \frac{(l_1 - l_2) - (y_1 - y_2)}{c}, \quad (14)$$

что приближенно

$$\Delta t \approx \frac{x^2 (l_1 - l_2)}{2c \cdot l_1 l_2} + \frac{x}{c} \cdot \delta \cdot \sin \alpha. \quad (15)$$

Пусть скорость движения наблюдателя E относительно исходной системы равна V . Тогда можно показать, что

$$x \approx \frac{l_1}{\frac{c}{V} + \cos \alpha}. \quad (16)$$

Тогда из уравнения (11) и (12) следует

$$l_1 - l_2 \approx a \delta \cos \alpha \quad (17)$$

и

$$l_1 l_2 \approx R^2 - aR(2 \sin \alpha + \delta \cdot \cos \alpha). \quad (18)$$

Подставляя в уравнение (16), получим:

$$\Delta t \approx \frac{V^2 \cdot a \cdot \delta \cdot \cos \alpha}{2c^3} + \frac{V \cdot R \cdot \delta \cdot \sin \alpha}{c^2}. \quad (19)$$

Первое слагаемое будет того же порядка, что второе, лишь при столь малых α , что $\operatorname{tg} \alpha = (V/c)(\alpha/R)$, то есть может быть отброшено как не играющее роли:

$$\Delta t \approx \frac{V \cdot R \cdot \delta \cdot \sin \alpha}{c^2}. \quad (20)$$

Это “ t , измерено в исходной системе, события при этом одномоментны в системе E , то есть наблюдатель E получит то же “ t , следовательно

$$\Delta t = \frac{\delta - \delta_1}{\omega_1}, \quad (21)$$

где ω_1 это угловая скорость точек A и D , измеренная в системе E , δ угловая величина дуги DA ; δ_1 – величина дуги, заменяющей в движении дугу DA «на снимке» (в верхней полусфере $\delta_1 < \delta$). Далее, определим, что ω_1 , угловая скорость точек A и D в системе E , связана с угловой скоростью, измеренной в исходной системе отсчета $\omega_0 = \frac{d\alpha}{dt}$, как

$$\frac{\omega_1}{\omega_0} = \frac{\delta_1}{\delta}. \quad (22)$$

Учитывая, что $a \ll R$, в пределах принятой точности $\omega_0 = \omega = d\varepsilon/dt$, угловой скорости вращения наблюдателя E по окружности a .

Объединяя все это, приравниваем (20) и (21) и, отбрасывая заведомо малые слагаемые, получаем

$$\frac{\delta - \delta_1}{\delta_1} \approx \frac{\omega^2 \cdot a \cdot R \cdot \sin \alpha}{c^2} > 0 \quad (23)$$

и $\delta_1 < \delta$.

Если рассмотреть левую часть верхней полуплоскости $\pi/2 < \alpha < \pi$ (левая панель рис. 3), то подобным рассуждением мы видим, что наблюдатель E быстрее удаляется от точки D , чем от точки A . Выполняя те же рассуждения, получаем, что, для «верхней» полусферы ($0 < \alpha < \pi$) при измерении из движущейся системы наблюдается сокращение длины отрезка, расположенного в исходной системе отсчета, по сравнению с его длиной в покое.

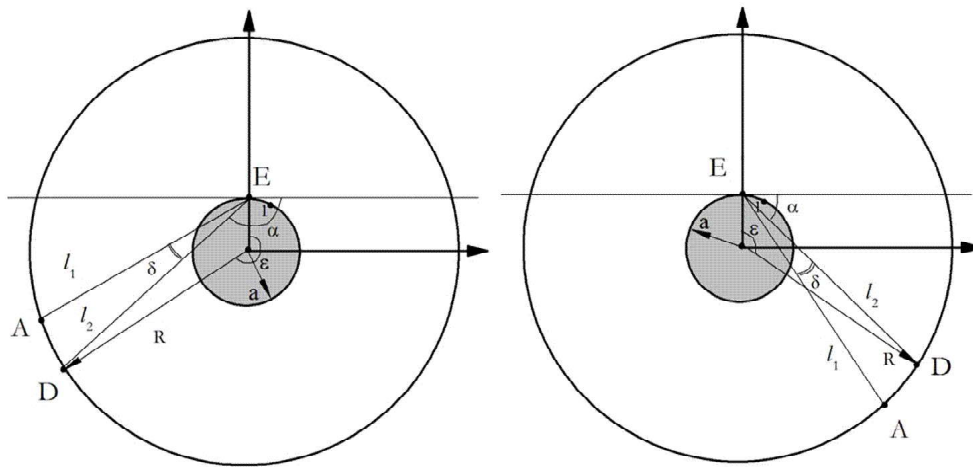


Рисунок 4. Схема расчета для нижней полусферы.

На рис. 4 показана картина для расчета разницы прихода сигналов для нижней полуплоскости относительно наблюдателя E . Полностью аналогичные рассуждения для «нижней» полусферы ($0 < \alpha < \pi$) дают следующий результат: – увеличение длины: $|\delta_1| > |\delta|$. При этом формула (23) остается верной.

Это означает, что происходит сокращение длины элемента дуги в верхней полуплоскости и увеличение элемента дуги в нижней. Коэффициент изменения определим как

$$k = 1 + \frac{\omega^2 \cdot a \cdot R \cdot \sin \alpha \cdot \sin \theta}{c^2} \quad (24)$$

при $0 < \alpha < \pi$ будет сокращение длины по сравнению с покоем и $k > 1$, при $\pi < \alpha < 0$ – увеличение длины – $k < 1$.

3) Применим полученный результат к описанию взаимодействия пробного тела – точка A – с зарядом (или массой), равномерно распределенной по сфере радиуса R . Рассчитаем «вертикальную» проекцию напряженности гравитационного поля, создаваемую «верхней» полусферой со сферическими координатами α, θ, R в точке A , движущейся по окружности радиуса a с центром в начале координат. Схема показана на рис. 5.

Напряженность поля притяжения, создаваемого элементом сферы, обозначим E_0 . В системе отсчета вращающегося наблюдателя проекция E_0 на ось ординат определяется через сумму проекций от 2-х компонент напряженности (по движению элемента сферы и перпендикулярно ему)

$$E_{\uparrow} = -E_{\parallel} \sin(\varepsilon) + E_{\perp} \cos(\varepsilon), \quad (25)$$

где $E_{\parallel} = E_0 \cos \gamma$ и $E_{\perp} = k \cdot E_0 \sin \gamma$, k – коэффициент сокращения длины дуги, рассчитанный выше, E_0 – напряженность поля, создаваемая той же материальной точкой в случае, когда точка A неподвижна. Собирая вместе, получаем вертикальную проекцию напряженности поля как функцию α, θ, R :

$$E_{\uparrow} = E_0 \left(\sin \alpha + \sin \gamma \cdot \cos(\gamma - \alpha) \cdot \frac{\omega^2 \cdot a \cdot R \cdot \sin \alpha \cdot \sin \theta}{c^2} \right). \quad (26)$$

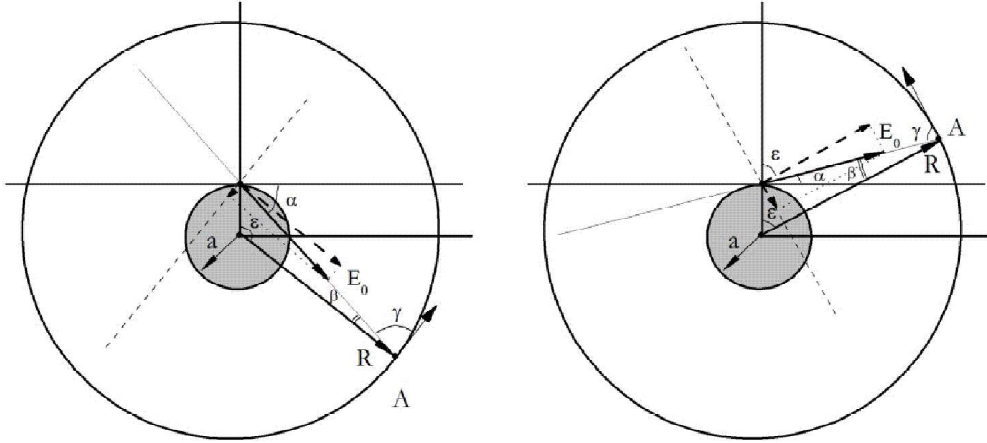


Рисунок 5. Схема для расчета напряженности поля.

Аналогичные выкладки для точки «нижней» полусферы согласно рис. 5 дают выражение:

$$E_{\downarrow} = E_0 \left(-\sin \alpha + \sin \gamma \cdot \cos(\gamma - \alpha) \cdot \frac{\omega^2 \cdot a \cdot R \cdot \sin \alpha \cdot \sin \theta}{c^2} \right). \quad (27)$$

Суммарная вертикальная проекция напряженности от симметричных элементов сферы равна:

$$E_{tot} = E_0 \left(2 \sin \gamma \cdot \cos(\gamma - \alpha) \cdot \frac{\omega^2 \cdot a \cdot R \cdot \sin \alpha \cdot \sin \theta}{c^2} \right). \quad (28)$$

Для расчета полной напряженности от всей сферы выполним оценку в приближении $a \ll R$ и, соответственно, $\cos(\gamma - \alpha) \approx \sin(\alpha + \beta) \approx \sin \alpha$, $\sin \gamma \approx 1$. В этом приближении выражение (28) упрощается до

$$E_{tot} = E_0 \cdot \frac{2 \cdot \omega^2 \cdot a \cdot R \cdot \sin^2 \alpha \cdot \sin \theta}{c^2}, \quad (29)$$

что позволяет легко рассчитать полный интеграл.

Как для электростатического, так и для гравитационного взаимодействия выполняется закон обратных квадратов. Напряженность гравитационного поля E_0 в точке E равна

$$dE_0 = G \frac{\rho \cdot dV}{R^2}. \quad (30)$$

Интегрируя полученное выражение (29), получаем суммарную силу, действующую на единичную массу и направленную центробежно:

$$F = mE = \frac{2GR\rho}{c^2} m\omega^2 a \int_a^{R_0} R dR \int_0^\pi \sin^2 \alpha d\alpha \int_0^{\pi/2} \sin^2 \theta d\theta = \frac{\pi^2}{8} \frac{GR_0^2 \rho}{c^2} m\omega^2 a. \quad (31)$$

Центробежная сила, возникающая в неинерциальной системе, отсчета двигающейся равномерно по окружности, равна $F = m\omega^2 a$. Сравнивая выражения, мы находим безразмерный комплекс

$$C = \frac{\pi^2 GR_0^2 \rho}{8c^2} \sim 1. \quad (32)$$

Для современных оценок размера и плотности вещества во Вселенной (гравитационная постоянная $G = 6.67 \cdot 10^{-8}$ дин см²/г², $R_0 = 9 \cdot 10^{28}$ см размер видимой Вселенной, среднюю плотность вещества порядка критической плотности $\rho_0 = 10^{-29}$ гсм⁻³, и скорость света $c = 3 \cdot 10^{10}$ см/с) эта величина оказывается порядка 1–10. То, что данный комплекс оказался близким к единице, скорее можно рассматривать как совпадение, поскольку использованные оценки приближенные.

Итак, мы показали, что со стороны Вселенной на тело массы m , которое движется по окружности радиуса a с угловой скоростью ω , действует центробежная сила:

$$F \approx m\omega^2 a. \quad (33)$$

4. Заключение

В этой и предыдущих статьях предложен логически замкнутый подход к описанию релятивистских эффектов, не требующий аксиоматического постулирования требований принципа относительности и принципа независимости скорости света от движения источника и наблюдателя. Показано, что оба принципа могут быть получены с использованием логической схемы («приборного принципа»), в которой для передачи информации о событиях наблюдатель использует световые сигналы. Такой подход позволяет вывести кинематические эффекты, электродинамику и возникновение инертности в неинерциальных системах отсчета согласно принципу Маха. Рассмотрен парадокс, возникающий при сравнении наблюдений в двух инерциальных системах отсчета, где наблюдатели, придерживаясь предложенной схемы,

используют световые и звуковые сигналы. Этот парадокс выводит на вопрос о существовании «выделенной системы отсчета». Потенциальный эксперимент обсуждается в работах [3] и [5]. Чтобы сделать предложенный подход замкнутым, необходимо вывести закон инерции для поступательного ускоренного движения, а также закон электромагнитной индукции, что будет представлено в следующей статье.

Литература

1. Филиппов Л.И. К вопросу о выводе преобразований принципа Лоренца. Физическое образование в вузах. – 2020. – Том 26, № 1. – С. 16–29.
2. Филиппов Л.И. Изложение специальной теории относительности на основе процессов измерения. Физическое образование в вузах. – 2020. – Том 26, № 3. – С. 84–101.
3. L. Filippov. «Heuristic Approach to Kinematics and Electrodynamics of Moving Bodies», World Journal of Mechanics, 6, 52 (2016).
4. Филиппов Л.И. Теория относительности на основе анализа процессов измерения. Часть 2: сила Лоренца. Физическое образование в вузах. – 2020. – Том 26, № 4. – С. 21–29.
5. L. Filippov. «On a Heuristic Point of View Concerning the Mechanics and Electrodynamics of Moving Bodies», World Journal of Mechanics, 2016, 6, 305 (2016).
6. Ives H.E., Stilwell G.R. «An experimental study of the rate of a moving atomic clock», Journal of the Optical Society of America 28, 215 (1938).
7. E. Mach. «Conservation of energy», Science of Mechanics, 1875.
8. A. Einstein, «Zur Elektrodynamik bewegter Körper», Annalen per Physik, 322, 891 (1905).
9. A. Einstein, «Ist die Trägheit eines Körpers von seinem Energieinhalt abhängig?», Annalen der Physik, 323, 639 (1905).
10. C. Brans, R.H. Dicke, «Mach's principle and a relativistic theory of gravitation», Physical review, 124, 925, (1961)
11. R.H. Dicke, «Mach's principle and a invariance under transformation units», Physical review, 125, 2163, (1962).

Sound Model and Mach's Principle

L. I. Filippov, V. V. Klimenko

Lyceum «Physical-Technical High School», St. Petersburg, st. Khlopina, 6, 3A, 194021
Saint Petersburg Academic University, St. Petersburg, st. Khlopina, 6, 3A, 194021;
e-mail: slava.klimenko@gmail.com

Received January 12, 2022

PACS 03.30

We present a technique where the basic physical procedures of the special relativity – clock synchronization and measurement of lengths – are carried out based on signals, the speed of which is tied to the selected frame of reference («environment»). As an example, we consider a model in which observers use «sound waves» as a signal. There is a paradox of the apparent discrepancy between the model results and the standard Lorentz transformations. Additionally we discuss an application of this framework to the Mach's principle.

Keywords: theory of relativity, measurement principle, Mach's principle.

References

1. *L.I. Filippov*, “On the derivation of the Lorentz transformations”, *Physics of Higher Education*, 26 (1), 16-29, (2020).
2. *L.I. Filippov*, “Exposition of the special theory of relativity, based on the analysis of measurement processes”, *Physics of Higher Education*, 26 (3), 84-101, (2020).
3. *L. Filippov*, “Heuristic Approach to Kinematics and Electrodynamics of Moving Bodies”, *World Journal of Mechanics*, 6, 52 (2016).
4. *L.I. Filippov*, “The theory of relativity based on the analysis of measurement processes. Part 2: the Lorentz force”, *Physics of Higher Education*, 26 (4), 21-29, (2020).
5. *L. Filippov*, “On a Heuristic Point of View Concerning the Mechanics and Electrodynamics of Moving Bodies”, *World Journal of Mechanics*, 2016, 6, 305 (2016).
6. *Ives H.E., Stilwell G.R.* «An experimental study of the rate of a moving atomic clock», *Journal of the Optical Society of America* 28, 215 (1938).
7. *E. Mach*, “Conservation of energy”, *Science of Mechanics*, 1875.
8. *A. Einstein*, “Zur Elektrodynamik bewegter Körper”, *Annalen per Physik*, 322, 891 (1905).
9. *A. Einstein*, “Ist die Trägheit eines Körpers von seinem Energieinhalt abhängig?”, *Annalen der Physik*, 323, 639 (1905).
10. *C. Brans, R.H. Dicke*, “Mach's principle and a relativistic theory of gravitation”, *Physical Review*, 124, 925, (1961).
11. *R.H. Dicke*, “Mach's principle and a invariance under transformation units”, *Physical Review*, 125, 2163, (1962).